

# Apprentissage d'une variété fonctionnelle, Application au clustering de courbes

Benjamin Auder

CEA - UPMC

2 septembre 2009

Thèse depuis 02/2008

Directeur de thèse : Gérard Biau (UPMC)

Encadrant CEA : Bertrand looss (CEA)

# Plan

## 1 Introduction

## 2 Réduction de la dimension

- Isomap
- Laplacian eigenmaps
- Riemaniann Manifold Learning (RML)

## 3 Tests

- Somme de sinusoides
- Oscillations amorties
- Control Chart Time series

# Contexte industriel CEA

## Choc thermique pressurisé

Code thermo-hydraulique **coûteux** en temps, déterminant les évolutions temporelles de paramètres physiques dans l'espace annulaire de la cuve.

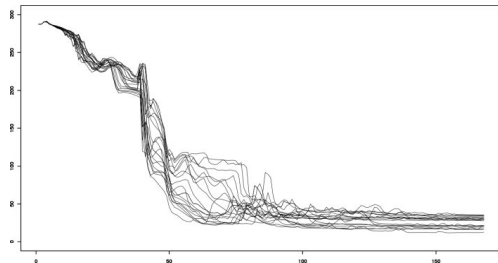


FIG.: Transitoires de température.

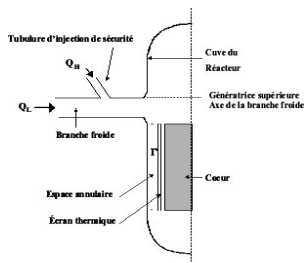


FIG.: Zone modélisée

Code de calcul Cathare :

- Entrées  $z \in \mathbb{R}^P =$  état initial du système physique ;
- Sorties  $y \in \mathcal{C}([a, b], \mathbb{R}) =$  évolution des paramètres du système.

## Résultats attendus

Code de calcul entrées vectorielles et sorties fonctionnelles.

$$\begin{pmatrix} z_{11} & \dots & z_{1p} \\ \vdots & \vdots & \vdots \\ z_{n1} & \dots & z_{np} \end{pmatrix} \longrightarrow \begin{pmatrix} y_1(t) \\ \vdots \\ y_n(t) \end{pmatrix} = \begin{pmatrix} y_1(t_1) & \dots & y_1(t_D) \\ \vdots & \vdots & \vdots \\ y_n(t_1) & \dots & y_n(t_D) \end{pmatrix}$$

$i = 1..N$ ,  $N \simeq 100\ 1000$ ;  $z_{ij} \in \mathbb{R}$ ,  $t \in [a, b]$ .

*Objectif* : prédiction de données fonctionnelles via un métamodèle :

$$y^{\text{new}} \simeq \varphi(z^{\text{new}}).$$

# Résultats attendus

Code de calcul entrées vectorielles et sorties fonctionnelles.

$$\begin{pmatrix} z_{11} & \dots & z_{1p} \\ \vdots & \vdots & \vdots \\ z_{n1} & \dots & z_{np} \end{pmatrix} \longrightarrow \begin{pmatrix} y_1(t) \\ \vdots \\ y_n(t) \end{pmatrix} = \begin{pmatrix} y_1(t_1) & \dots & y_1(t_D) \\ \vdots & \vdots & \vdots \\ y_n(t_1) & \dots & y_n(t_D) \end{pmatrix}$$

$i = 1..N$ ,  $N \simeq 100\ 1000$ ;  $z_{ij} \in \mathbb{R}$ ,  $t \in [a, b]$ .

*Objectif* : prédiction de données fonctionnelles via un métamodèle :

$$y^{\text{new}} \simeq \varphi(z^{\text{new}}).$$

## Sous-objectifs

- Réduction de la dimension en sortie.
- Clustering des entrées / sorties.

# Plan

## 1 Introduction

## 2 Réduction de la dimension

- Isomap
- Laplacian eigenmaps
- Riemaniann Manifold Learning (RML)

## 3 Tests

- Somme de sinusoides
- Oscillations amorties
- Control Chart Time series

## Illustration

Données "non linéaires", mais structurées en une variété (au moins)  $\mathcal{C}^0$ .

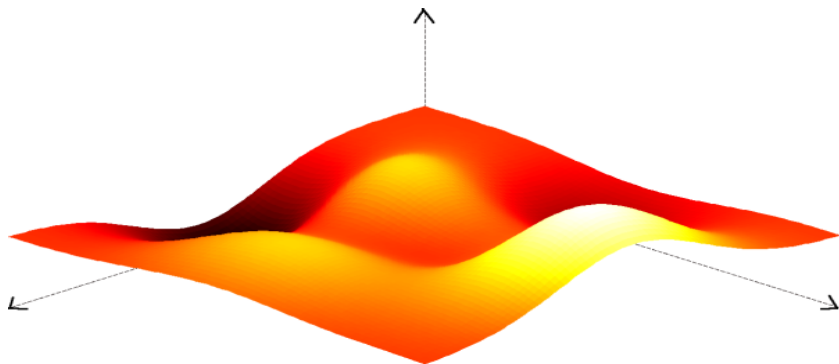


FIG.: Surface de dimension deux dans  $\mathbb{R}^3$ .

*But* : trouver un système de coordonnées le plus réduit possible pour décrire efficacement les données.

## Objectifs

Paramétrer  $\mathcal{Y}$ , ensemble des sorties du code :

$f(x \in \mathbb{R}^d) = y \in \mathcal{Y} \subset \mathcal{C}([a, b], \mathbb{R})$ ,  $d$  le plus petit possible.

En pratique :  $N$  échantillons  $y_i \Rightarrow N$  vecteurs  $x_i = f^{-1}(y_i)$  à déterminer.

# Objectifs

Paramétrer  $\mathcal{Y}$ , ensemble des sorties du code :

$f(x \in \mathbb{R}^d) = y \in \mathcal{Y} \subset \mathcal{C}([a, b], \mathbb{R})$ ,  $d$  le plus petit possible.

En pratique :  $N$  échantillons  $y_i \Rightarrow N$  vecteurs  $x_i = f^{-1}(y_i)$  à déterminer.

*Contraintes :*

- conservation des voisinages :  
les voisins de  $x_i$  correspondent à ceux de  $y_i = f(x_i)$  ( $k \in \mathbb{N}^*$ );
- conservation des distances :  
 $f(x_i) = y_i$  et  $f(x_j) = y_j \Rightarrow \|x_i - x_j\| \simeq \|y_i - y_j\|$  (..etc)

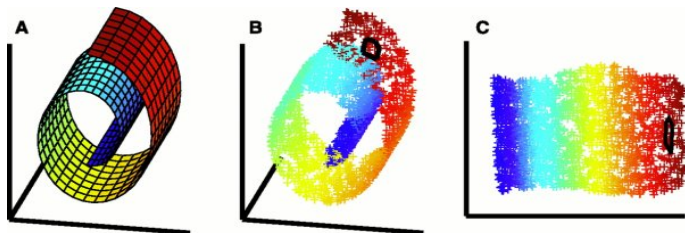


FIG.: carte 2D du jeu de données swissroll

# Méthode

Recherche de la vraie dimension  $\Rightarrow$  représentation non linéaire,  
distances euclidiennes  $\leftarrow$  distances géodésiques.

- 1 Estimation de la géométrie locale : graphe de voisinage.
- 2 Estimation de la dimension : basée sur  $\mathbb{P}(Y \in B(y, r)) \propto r^d$ .
- 3 Représentation en coordonnées globales.

# Méthode

Recherche de la vraie dimension  $\Rightarrow$  représentation non linéaire,  
distances euclidiennes  $\leftarrow$  distances géodésiques.

- 1 Estimation de la géométrie locale : graphe de voisinage.
- 2 Estimation de la dimension : basée sur  $\mathbb{P}(Y \in B(y, r)) \propto r^d$ .
- 3 Représentation en coordonnées globales.

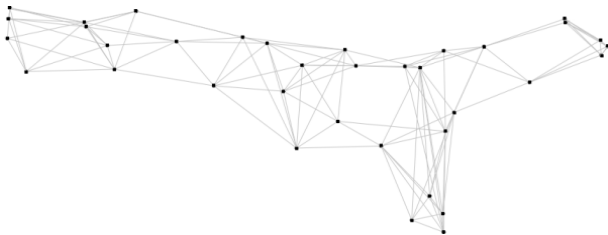


FIG.: Exemple : un graphe des 6 plus proches voisins.

# Détermination des voisinages

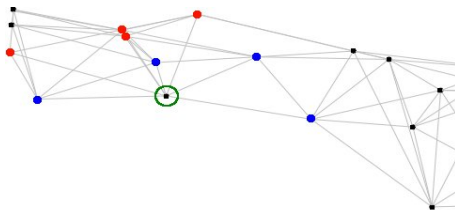
Méthode utilisée par T. Lin & H. Zha (articles 2006 et 2008).

## Définition : visibilité depuis un noeud

$v$  est voisin de  $p$  si aucun autre point  $r$  ne vérifie à la fois

$$\|r - p\| < \|v - p\| \text{ et}$$

$$\langle p - r, v - r \rangle < 0.$$



bleu : points testés et acceptés

rouge : points testés et refusés

FIG.: Exemple : voisinage du sommet entouré en vert.

# Plan

## 1 Introduction

## 2 Réduction de la dimension

- **Isomap**
- Laplacian eigenmaps
- Riemannian Manifold Learning (RML)

## 3 Tests

- Somme de sinusöides
- Oscillations amorties
- Control Chart Time series

## Description (J. B. Tenenbaum et al., 2000)

Étape 1 : estimer toutes les distances géodésiques  $d_{ij} = d(y_i, y_j)$ .

### Théorème

$D = (d_{ij})_{i,j=1..n}$  est une matrice de distances euclidiennes ssi.

$B = -\frac{1}{2}HDH$  est semi définie positive, avec  $H = I - \frac{1}{n}\mathbf{1}\mathbf{1}^t$ .

Dans ce cas  $B$  est la matrice de Gram associée à  $x_1, \dots, x_n$  centrés, représentant les  $y_i$ .

## Description (J. B. Tenenbaum et al., 2000)

Étape 1 : estimer toutes les distances géodésiques  $d_{ij} = d(y_i, y_j)$ .

### Théorème

$D = (d_{ij})_{i,j=1..n}$  est une matrice de distances euclidiennes ssi.

$B = -\frac{1}{2}HDH$  est semi définie positive, avec  $H = I - \frac{1}{n}\mathbf{1}\mathbf{1}^t$ .

Dans ce cas  $B$  est la matrice de Gram associée à  $x_1, \dots, x_n$  centrés, représentant les  $y_i$ .

Étape 2 : rendre  $B$  semi définie positive en annulant ses valeurs propres négatives :

$$B \simeq U\Lambda_+{}^tU.$$

## Description (J. B. Tenenbaum et al., 2000)

Étape 1 : estimer toutes les distances géodésiques  $d_{ij} = d(y_i, y_j)$ .

### Théorème

$D = (d_{ij})_{i,j=1..n}$  est une matrice de distances euclidiennes ssi.

$B = -\frac{1}{2}HDH$  est semi définie positive, avec  $H = I - \frac{1}{n}\mathbb{1}\mathbb{1}^t$ .

Dans ce cas  $B$  est la matrice de Gram associée à  $x_1, \dots, x_n$  centrés, représentant les  $y_i$ .

Étape 2 : rendre  $B$  semi définie positive en annulant ses valeurs propres négatives :

$$B \simeq U\Lambda_+{}^tU.$$

Étape 3 : calculer les nouvelles coordonnées  $x_i$  en se limitant à  $d$  colonnes :

$$X = U\Lambda_+^{\frac{1}{2}}.$$

## Propriétés

Sous les conditions 1 à 3, Isomap converge vers la paramétrisation optimale des  $n$  points en  $d$  dimensions :

- 1 la variété  $\mathcal{Y}$  est isométrique à un sous-ensemble de  $R^D$ ,  $D \in \mathbb{N}^*$  ;
- 2 l'espace de paramétrisation de  $\mathcal{Y}$  est convexe ;
- 3  $\mathcal{Y}$  est compacte et bien échantillonnée partout.

### Bilan

Conditions 1 et 2 très restrictives, souvent non vérifiées en pratique, mais l'algorithme reste utilisable et peut donner de bons résultats sans 1 et 2.

# Propriétés

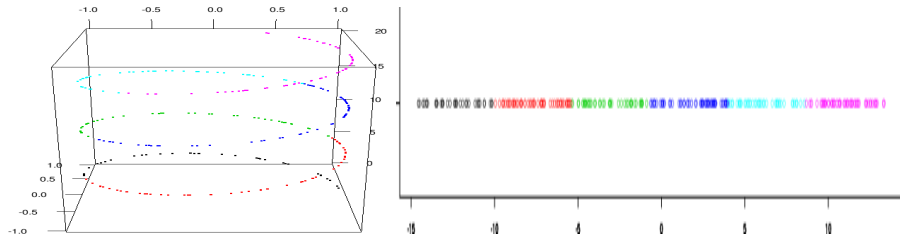
Sous les conditions 1 à 3, Isomap converge vers la paramétrisation optimale des  $n$  points en  $d$  dimensions :

- 1 la variété  $\mathcal{Y}$  est isométrique à un sous-ensemble de  $R^D$ ,  $D \in \mathbb{N}^*$  ;
- 2 l'espace de paramétrisation de  $\mathcal{Y}$  est convexe ;
- 3  $\mathcal{Y}$  est compacte et bien échantillonnée partout.

## Bilan

Conditions 1 et 2 très restrictives, souvent non vérifiées en pratique, mais l'algorithme reste utilisable et peut donner de bons résultats sans 1 et 2.

Exemple : hélice 3D.



# Plan

## 1 Introduction

## 2 Réduction de la dimension

- Isomap
- Laplacian eigenmaps
- Riemaniann Manifold Learning (RML)

## 3 Tests

- Somme de sinusöides
- Oscillations amorties
- Control Chart Time series

## Description (M. Belkin & P. Niyogi, 2002)

$W_{ij}$  = similarité entre  $y_i$  et  $y_j$ , p. ex.  $W_{ij} = e^{-\frac{\|y_i - y_j\|^2}{\sigma^2}}$ .

### Définitions

$D$  = matrice diagonale des degrés avec  $D_{ii} = \sum_{j \in V(i)} W_{ij}$ .

$L = D - W$ , laplacien du graphe.

## Description (M. Belkin & P. Niyogi, 2002)

$W_{ij}$  = similarité entre  $y_i$  et  $y_j$ , p. ex.  $W_{ij} = e^{-\frac{\|y_i - y_j\|^2}{\sigma^2}}$ .

### Définitions

$D$  = matrice diagonale des degrés avec  $D_{ii} = \sum_{j \in V(i)} W_{ij}$ .

$L = D - W$ , laplacien du graphe.

Fonction objectif naturelle à minimiser :

$$\psi(X) = \sum_{i,j=1}^n W_{ij} \|x_i - x_j\|^2,$$

sous la contrainte  ${}^tXDX = 1$ , avec  $x_i \in \mathbb{R}^d$ , en lignes dans  $X$ .

⇒ deux éléments similaires doivent être proches.

Solution au problème de minimisation :

$X = d$  premiers vecteurs propres de  $D^{-1}L$  en colonnes.

## Choix de $\sigma$ .

$\sigma$  déterminé localement en  $y_0$ , maximisant l'écart de similarité entre le voisin  $v_1$  (resp.  $v_k$ ) le plus proche (resp. le plus éloigné) de  $y_0$  :

$$\sigma^2 = \arg \max_{\sigma^2} \left\{ e^{\frac{-\|y_0 - v_1\|^2}{\sigma^2}} - e^{\frac{-\|y_0 - v_k\|^2}{\sigma^2}} \right\} .$$

Après calculs :

$$\sigma^2 = \frac{\|y_0 - v_k\|^2 - \|y_0 - v_1\|^2}{\ln \|y_0 - v_k\|^2 - \ln \|y_0 - v_1\|^2} .$$

## Choix de $\sigma$ .

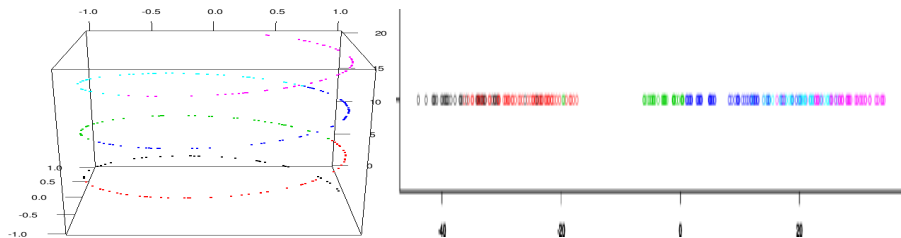
$\sigma$  déterminé localement en  $y_0$ , maximisant l'écart de similarité entre le voisin  $v_1$  (resp.  $v_k$ ) le plus proche (resp. le plus éloigné) de  $y_0$  :

$$\sigma^2 = \arg \max_{\sigma^2} \left\{ e^{\frac{-\|y_0 - v_1\|^2}{\sigma^2}} - e^{\frac{-\|y_0 - v_k\|^2}{\sigma^2}} \right\}.$$

Après calculs :

$$\sigma^2 = \frac{\|y_0 - v_k\|^2 - \|y_0 - v_1\|^2}{\ln \|y_0 - v_k\|^2 - \ln \|y_0 - v_1\|^2}.$$

Exemple : hélice 3D.



# Plan

## 1 Introduction

## 2 Réduction de la dimension

- Isomap
- Laplacian eigenmaps
- Riemannian Manifold Learning (RML)

## 3 Tests

- Somme de sinusöides
- Oscillations amorties
- Control Chart Time series

## Description (T. Lin & H. Zha, 2006)

Tentative d'unifier des propriétés de distances globales, en respectant aussi les voisinages.

Premières étapes :

- 1 choisir un point origine  $y_0$  parmi les  $y_i$ , (p.ex. le centre) ;
- 2 déterminer une base locale  $Q_0 = (e_1, \dots, e_d)$  de l'espace tangent en  $y_0$  (avec les points du voisinage + SVD) ;

## Description (T. Lin & H. Zha, 2006)

Tentative d'unifier des propriétés de distances globales, en respectant aussi les voisinages.

Premières étapes :

- 1 choisir un point origine  $y_0$  parmi les  $y_i$ , (p.ex. le centre) ;
- 2 déterminer une base locale  $Q_0 = (e_1, \dots, e_d)$  de l'espace tangent en  $y_0$  (avec les points du voisinage + SVD) ;
- 3 calculer les coordonnées de tous les voisins de  $y_0$  en projection sur la base  $Q_0$  ; un voisin  $y$  a pour coordonnées

$$x = \arg \min_{x_1, \dots, x_d} \left\| y - \left( y_0 + \sum_{i=1}^d x_i e_i \right) \right\|^2,$$

renormalisées pour vérifier  $\|y - y_0\| = \|x - x_0\|$ .

## Coordonnées des non voisins de $y_0$

Étape 4 : pour  $y$  non voisin de  $y_0$ , on cherche  $y_p$  le prédécesseur de  $y$  sur un plus court chemin issu de  $y_0$  (Dijkstra p.ex.).

$y_{i_1}, \dots, y_{i_d}$  sont les voisins déjà traités de  $y_p$  (parcours des  $y_i$  en largeur).

→ On cherche alors  $x$  coordonnées de  $y$ , telles que les angles  $\widehat{yy_p y_{i_j}}$  soient  $\simeq$  conservés :

$$\cos \theta = \frac{\langle y - y_p, y_{i_j} - y_p \rangle}{\|y - y_p\| \|y_{i_j} - y_p\|} \simeq \frac{\langle x - x_p, x_{i_j} - x_p \rangle}{\|x - x_p\| \|x_{i_j} - x_p\|} = \cos \theta',$$

sous la contrainte  $\|y - y_p\| = \|x - x_p\|$ .

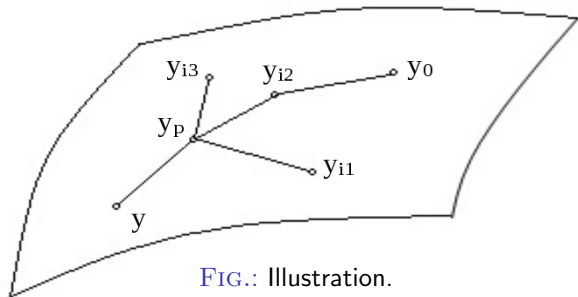


FIG.: Illustration.

# Plan

## 1 Introduction

## 2 Réduction de la dimension

- Isomap
- Laplacian eigenmaps
- Riemannian Manifold Learning (RML)

## 3 Tests

- Somme de sinusoides
- Oscillations amorties
- Control Chart Time series

## Exemple analytique, 2 clusters (dimension 2)

Pour tous les exemples,  $d = 2$ ,  $N = 600$ .

Pour les deux premiers, ajout d'un léger bruit gaussien.

Fonction définie sur  $[0, 2\pi]$  :

$$f_{\alpha,\beta,\gamma,\delta} : x \rightarrow \alpha \cos x + \beta \sin x + \gamma \cos 2x + \delta \sin 2x,$$

avec  $(\alpha, \beta) \sim \mathcal{U}(\mathcal{S}(0, 1)_+)$ .  $(\gamma, \delta) \sim \mathcal{U}(\mathcal{S}(0, 1)_+)$  pour les courbes 1 à 300, puis  $(\gamma, \delta) \sim \mathcal{U}(\mathcal{S}(0, 2)_+)$  pour les 300 suivantes ( $\mathcal{S}_+ = \mathcal{S} \cap \mathbb{R}_+^2$ ).

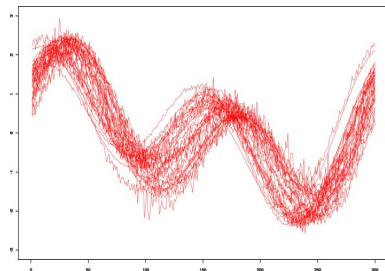
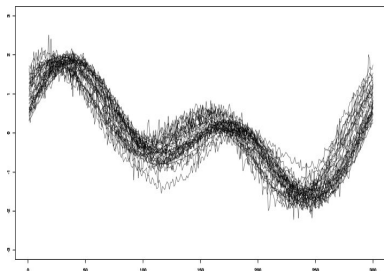


FIG.: 32 courbes du cluster  $i = 1..300$  à gauche,  $i = 301..600$  à droite.

# Résultats

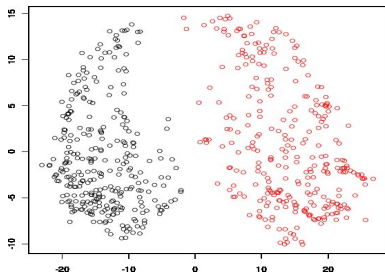


FIG.: Isomap.

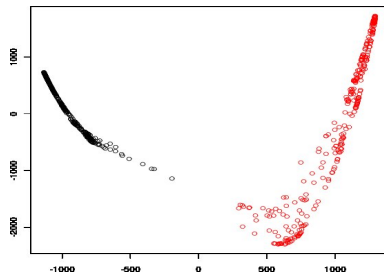


FIG.: Laplacian eigenmaps.

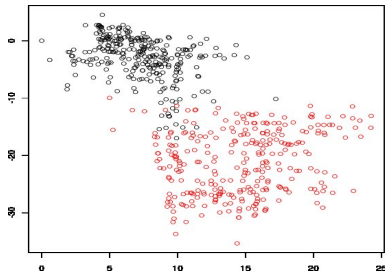


FIG.: RML.

| Méthode             | Réussite |
|---------------------|----------|
| K-Means             | 51%      |
| Hierarchique Ward   | 51%      |
| Clustering spectral | 100%     |
| Isomap + k-means    | 99%      |
| Lap. eig. + k-means | 100%     |
| RML + k-means       | 97%      |

FIG.: Homogénéité des clusters.

# Plan

## 1 Introduction

## 2 Réduction de la dimension

- Isomap
- Laplacian eigenmaps
- Riemannian Manifold Learning (RML)

## 3 Tests

- Somme de sinusöides
- **Oscillations amorties**
- Control Chart Time series

## Exemple analytique, 3 clusters (dimension 1)

Fonction définie sur  $[1, 5]$  :

$$f_{\alpha, \beta, \gamma} : x \rightarrow \left( \frac{\sin \alpha x}{x} + e^{-\beta x} \right) \cos \gamma x ;$$

$$\beta[1 : 200, ] \sim \mathcal{U}(1, 2), \quad \beta[201 : 400, ] \sim \mathcal{U}(0, 1), \quad \beta[401 : 600, ] \sim \mathcal{U}(0.4, 1).$$

$$\alpha = 3\beta, \text{ et } \gamma[1 : 200, ] = (4 - \beta[1 : 200, ]^2)^{\frac{1}{2}},$$

$$\gamma[201 : 400, ] = (1 - \beta[201 : 400, ]^2)^{\frac{1}{2}},$$

$$\gamma[401 : 600, ] = 3(1 - \beta[401 : 600, ]^2)^{\frac{1}{2}} + 3.$$

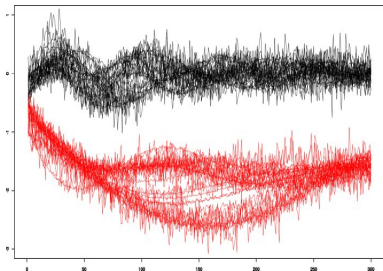


FIG.: 32 courbes des 2 1<sup>ers</sup> clusters.

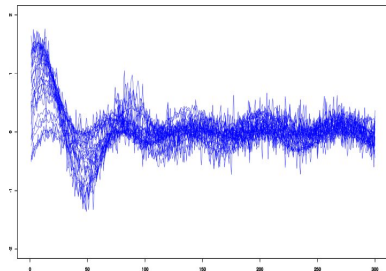


FIG.: 32 courbes du 3<sup>eme</sup> cluster.

# Résultats

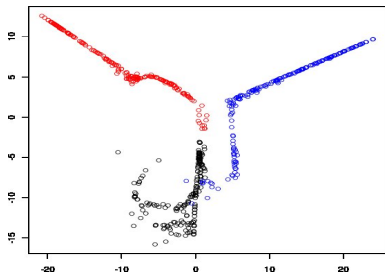


FIG.: Isomap.

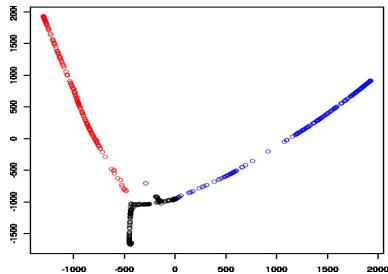


FIG.: Laplacian eigenmaps.

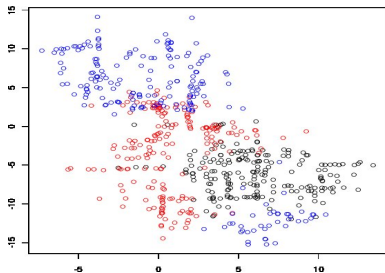


FIG.: RML.

| Méthode             | Réussite |
|---------------------|----------|
| K-Means             | 67%      |
| Hierarchique Ward   | 74%      |
| Clustering spectral | 98%      |
| Isomap + k-means    | 90%      |
| Lap. eig. + k-means | 91%      |
| RML + k-means       | 67%      |

FIG.: Homogénéité des clusters.

# Plan

## 1 Introduction

## 2 Réduction de la dimension

- Isomap
- Laplacian eigenmaps
- Riemaniann Manifold Learning (RML)

## 3 Tests

- Somme de sinusöides
- Oscillations amorties
- Control Chart Time series

## Exemple analytique, 6 clusters (dimension $\infty$ )

Séries temporelles affichant les évolutions de variables physiques.

Fonction définie sur  $[0, 60]$ ,  $D$  points de discrétisation. Génération :

- *cpt. normal* :  $y(t) = m + rs$ ;  $m = 30$ ,  $s = 2$ ,  $r \sim \mathcal{U}(-3, 3)$  (noir);
- *cpt. cyclique* :  $y(t) = m + rs + a \sin \frac{2\pi t}{T}$  où  $a, T \sim \mathcal{U}(10, 15)$  (rouge);
- *(dé)croissant* :  $y(t) = m + rs \pm gt$ ;  $g \sim \mathcal{U}(0.2, 0.5)$  (vert, bleu);
- *saut haut/bas* :  $y(t) = m + rs \pm kx$ ;  $x \sim \mathcal{U}(7.5, 20)$ ,  $k = \mathbb{1}_{[t_0, D]}$ .  
 $t_0 \sim \mathcal{U}(\frac{D}{3}, \frac{2D}{3})$  (bleu ciel, violet);

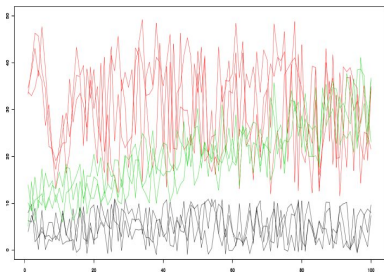


FIG.: 3 courbes des 3 1<sup>ères</sup> clusters.

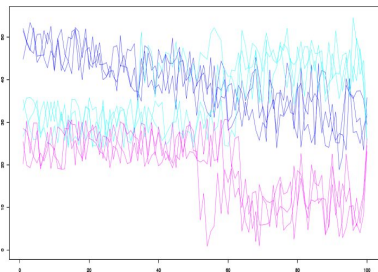


FIG.: 3 courbes des 3 derniers clusters.

# Résultats

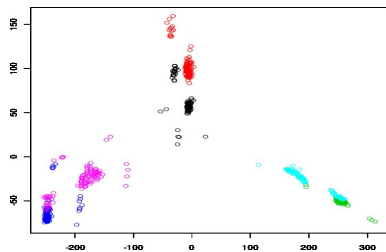


FIG.: Isomap.

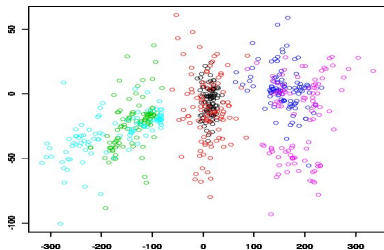


FIG.: RML.

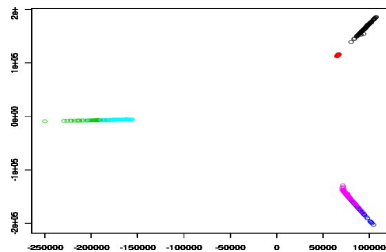


FIG.: Laplacian eigenmaps.

| Méthode             | Réussite |
|---------------------|----------|
| K-Means             | 91%      |
| Hiérarchique Ward   | 96%      |
| Clustering spectral | 94%      |
| Isomap + k-means    | 86%      |
| Lap. eig. + k-means | 80%      |
| RML + k-means       | 58%      |

FIG.: Homogénéité des clusters.

Note : isomap et  $d = 4 \Rightarrow 92\%$ , RML et  $d = 8 \Rightarrow 75\%$

# Exemple sur données réelles

Code Cathare (CEA) : évolution du coefficient d'échange fluide-paroi.

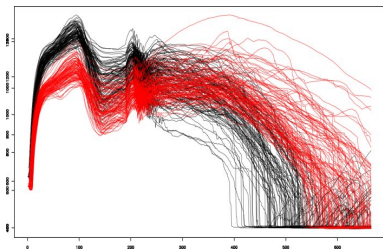


FIG.: Les 200 évolutions.

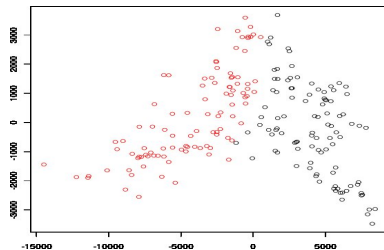


FIG.: Isomap.

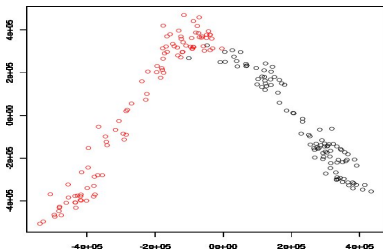


FIG.: Laplacian eigenmaps.

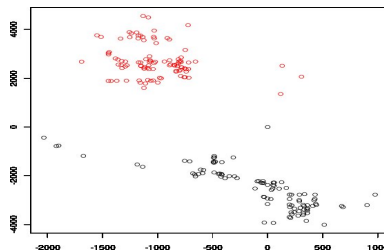


FIG.: RML.

## Conclusion

- Isomap : très bons résultats (mais pas conçu pour cette tâche..).
- Laplacian eigenmaps : beaucoup plus orienté vers le clustering, comparable à Isomap en performance.

Algorithme RML à améliorer / mieux adapter au cadre fonctionnel.

Version actuelle : trop de chevauchements inter-classes.

# Conclusion

- Isomap : très bons résultats (mais pas conçu pour cette tâche..).
- Laplacian eigenmaps : beaucoup plus orienté vers le clustering, comparable à Isomap en performance.

Algorithme RML à améliorer / mieux adapter au cadre fonctionnel.  
Version actuelle : trop de chevauchements inter-classes.

Méthode "intermédiaire" à explorer : courbes principales (T. Hastie, 1984).

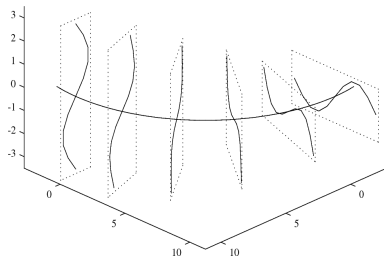


FIG.: Exemple de surface principale en 2D.

..dans un espace de fonctions.

# Bibliographie

**Isomap** : *A global geometric framework for nonlinear dimensionality reduction*; J. B. Tenenbaum, V. de Silva & J. C. Langford (2000).  
in Science, vol. 290, pp. 2319-2323.

**Lap. eig.** : *Laplacian eigenmaps and spectral techniques for embedding and clustering*; M. Belkin & P. Niyogi (2002).

**RML** : *Riemannian Manifold Learning for Nonlinear Dimensionality Reduction*; T. Lin, H. Zha & S. U. Lee (2006), et  
*Riemannian Manifold Learning*; T. Lin & H. Zha (2008) in IEEE Trans. on Pattern Analysis and Machine Intelligence, vol. 30, pp. 796-809.

**CCT time series** : *Time-Series Similarity Queries Employing a Feature-Based Approach*; R. J. Alcock & Y. Manolopoulos (1999).

**Courbes principales** : *Principal curves*; T. Hastie & W. Stuetzle (1989).  
in Journal of the American Statistical Association, vol. 84, pp. 502-516.  
*Another look at principal curves and surfaces*; P. Delicado (2001).  
in Journal of Multivariate Analysis, vol. 77, pp. 84-116 (.etc).